

河川堤防の決壊による洪水段波の衝撃力と

木造家屋の流失危険度に関する研究

京都大学防災研究所 正員 高橋 保 正員 中川 一
名古屋鉄道 正員○安達宗徳

1.はじめに 近年の高堤防方式による河川改修の進捗は、一方では堤防直下等の洪水氾濫危険地域における宅地化を促しており、洪水災害危険度は増大の一途をたどっていると言われている。本研究はこういいた塊状と、河川堤防が決壊して生ずる洪水によって被害を受ける家屋の大半が木造家屋であるという点に着目し、洪水段波による木造家屋の流失限界について考究し、木造家屋の流失危険区域の予測法を示そうとするものである。

2.実験の概要 破堤による氾濫洪水は一般に段波状の非定常で

二次元的な広がりを持つものであるが、ここではこれをDam break流れとみなして実験を行った。実験装置は図-1に

示したようなアクリル製水路の途中に段波発生用ゲートを

架設したものである。このゲートを手動で瞬時に持ち上げ

ることにより段波を発生させた。家屋模型は図-2に示す

ような直方体のアクリル製で、底面との接觸がないようにわざかの

隙間を設けて真鍮棒で上部を固定した。この真鍮棒には表裏と上下

に一枚ずつ、計四枚のひずみゲージを貼り付け、それぞれの点にお

ける曲げひずみが計測できるようになっている。測定されたひずみ

から抗力F_F、及びその底面からの作用高さh_oを求める。段波先端流

速、及び水深は2台のビデオカメラで計測した。水路勾配は約1/3600

であり、実験条件は表-1に示すとおりである。

3.流体力に関する考察 流体による木造家屋模型への作用力の最大

値を理論的に求めるために、ここでは二通りの方法を考えた。

一方は段波による衝撃力を考慮した次式である。

$$F = \rho C_F f B L h^n \tan \theta \quad \text{--- (1)}$$

ここに、C_F; Cumberbatchの係数、B、Lはそれぞれ構造

物の幅と長さ、θ; 水面勾配、ρ; 水流の模型への回り込

みを考慮する係数である。他方はMorisonによる仮想質量力の考え方を用いたものであり、

$$F = \frac{1}{2} C_D \rho B L h^n \frac{\partial u}{\partial t} + C_m \rho B L h^n u^2 \quad \text{--- (2)}$$

と表わされる。ここに、C_D; 抗力係数、C_m; 質量係数である。①および②式のn、h、n、お

よびθはそれぞれ以下の③および④式より求めた。すなわち、底面摩擦を無視した、Dam

breakに関するRitterの解、

$$u = \frac{1}{3} (x/t - \sqrt{g} h), \quad h = \frac{1}{9g} (2\sqrt{g} h_0 - x/t)^2 \quad \text{--- (3)}$$

および、Ritterの式に摩擦の影響を先端部分でのみ取り入れ、摩擦抵抗に関する係数Kを

Tamotu Takahashi, Hajime Nakagawa, Munenori Adachi

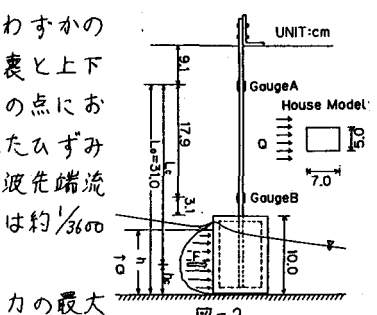
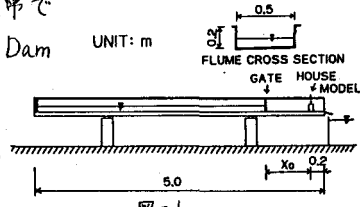


表-1

X _o (cm)	h _o (cm)								
4.0	7.0	6.5	8.0	5.5	5.0	4.5	4.0	3.5	3.0
6.0	7.0	8.5	8.0	5.5	5.0	4.5	4.0	3.5	3.0
8.0	7.0	8.5	8.0	5.5	5.0	4.5	4.0	3.5	3.0
1.00	7.0	8.5	8.0	5.5	5.0	4.5	4.0	3.5	3.0

X_o: ゲートから構造物前面までの距離
h_o: 初期の波源水槽の水深

導入した Whitham²⁾ の解、すなはち、

$$U = da/dx, \quad h = da/dx (2K/g)^{1/2} (a(x) - x)^{1/2} \quad \text{--- ④}$$

ここに $a(x)$ は堤体から先端までの距離で、

$$a(x) = 2\sqrt{h}x + 2.589\sqrt{g}h^{1/3}(8/h^2)^{1/6}x^{4/3}$$

で表わされる。①および②式に③式、④式を代入することにより得られる4通りの理論式から流体力Fの時間的变化を求めた。得られた結果の一部を実験値とともに図-3～5に示す。なお、図中①、③等は①式、②式等を示す。これらの図より、初期水深h₀および、距離x₀の変化に対して①式と③式の組み合せが、実験値を比較的よく説明していることがわかる。

木造家屋の变形あるいは倒壊は、基礎部分かほぞ構造であるため、主に流体力による力のモーメントによると考える。実験、及び理論解析においては、流体力の最大値が生起している時刻での力Fと、作用高さh₀を用いることにより、モーメントの最大値Mを求めた。h₀はCumberbatchの理論より、2/5となる値を用いた。図-6に、x₀/h₀とM/M₀（M₀は破堤口に家屋構造物があると仮定した場合にこれが受ける最大モーメント）との関係を実験結果とともに示す。同図中の破線は実際の代表的木造家屋の耐力モーメントM_a=418700(Nm)を無次元化したものである。この図から、実験値がx₀/h₀の増大に伴い、Ritterの理論曲線から Whithamの理論曲線へと漸近していく点に着目し、M/M₀の近似式として、

$$M/M_0 = \text{EXP}[-0.03993(x_0/h_0)] \quad \text{--- ⑤}$$

を得る。この曲線とM_a/M₀を表わす直線との交点よりも堤体側のx₀/h₀が木造家屋の流失危険範囲である。⑤式において M=M_aとおくことにより、流失危険範囲を表わすx_dを求めるに、

$$x_d = 25.04h_0 \ln(Bh_0^3/1187.2) \quad \text{--- ⑥}$$

となる。h₀は堤防が瞬時に決壊した場合、堤防天端高に相当すると考えられる。したがって木造家屋の流失危険範囲が、最も危険な場合として、堤防天端高の関数として知れる。

4.あとがき 以上のように危険範囲が求められたが、⑥式を用いるにあたっては、第一に構造物が存在する実際の場での現象に、Dam breakの理論を用いて解析を行った点、第二に本研究では一次元的な淡水段波を仮定したが、実際の二次元的な流れに対してどの程度適用しうるか等が問題となり、これらに関してもさらに十分な検討が必要である。

〈参考文献〉 1) Cumberbatch, E.; The impact of a water wedge on a wall, Jour. Fluid Mech., Vol. 7, 1960, pp.353-373.

2) Whitham, G.B.; The effects of hydraulic resistance on the dam-break problem, Proc. Roy. Soc. A, Vol. 227, 1955, pp.399-407

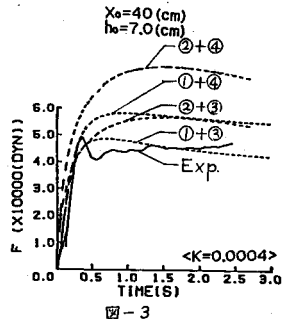


図-3

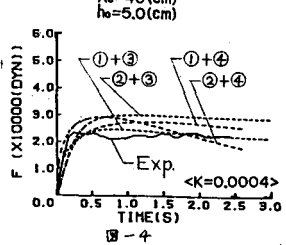


図-4

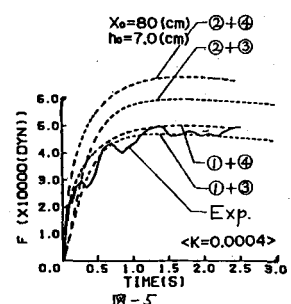


図-5

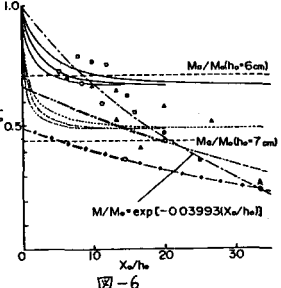
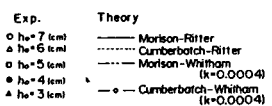


図-6